

*Письма в ЖЭТФ, том 17, вып. 12, стр. 669 – 674.*

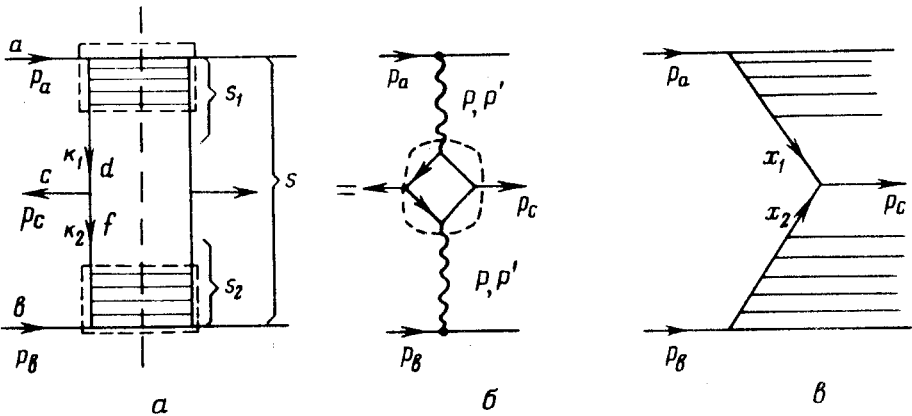
*20 июня 1973 г.*

## **ЗАВИСИМОСТЬ ИНКЛЮЗИВНОГО СЕЧЕНИЯ РОЖДЕНИЯ ЧАСТИЦ В ОБЛАСТИ ПИОНИЗАЦИИ ОТ ЭНЕРГИИ**

*Е. М. Левин, М. Г. Рыскин*

В настоящей работе мы рассмотрим зависимость инклюзивного сечения  $f(p_c, s) = E_c d\sigma/d^3p_c$  рождения медленных в системе центра

инерции пионов от энергии сталкивающихся адронов  $-\sqrt{s}$ , и покажем, что наблюдаемый на опыте рост сечения может быть связан с влиянием фазового объема не регистрируемых частиц (то, что влияние фазового объема сказывается вплоть до очень больших  $s \sim 2000 \text{ ГэВ}^2$ , было показано в численных расчетах Ботке [1]). Дело в том, что если в области фрагментации, скейлинг хорошо выполняется, уже начиная с ускорительных энергий [2] ( $f(p_c, s) = f(x, p_\perp, s) = f(x, p_\perp, \infty)$ ) при  $s > 20 \text{ ГэВ}^2$ , то в районе пионизации ( $x = p_{\parallel c} / p_{\parallel \text{max}} = 0$ ) величина  $f(p_c, s)$  и сечение рождения частиц на  $90^\circ$   $d\sigma/d\Omega|_{90^\circ} = \int f(p_{\parallel c} = 0, p_{\perp c} s) p_{\perp}^2 dp_{\perp} / E_c$  растут с ростом  $s$ , вплоть до энергий встречных пучков *ISR* (так при  $\sqrt{s} = 30 \text{ ГэВ}$   $d\sigma/d\Omega|_{90^\circ}$  примерно в два раза больше, чем при  $\sqrt{s} = 6,8 \text{ ГэВ}$ ) [3, 4]. Обычно [5] этот эффект объясняют вкладом невакуумных полюсов ( $P, \omega$ ) с  $\alpha(0) = 1/2$  (см. рис. 1, а), который очень медленно вымирает с ростом  $s$ , как  $s_1^{-1/2} \sim s^{-1/4}$ . (При излучении частицы на  $90^\circ - s_1 \sim \sqrt{s}$ ). Но тогда, чтобы описать рост сечения с энергией, вершину  $PP'$  (обведена пунктиром на рис. 1, а) приходится брать отрицательной. Такой знак кажется весьма странным, если расшифровать двухреджеонную  $PP'$ -вершину, через вычеты реджеонов (так, как это сделано на рис. 1, а) и вспомнить, что во всех известных двухчастичных реакциях вкладов полюсов с  $\alpha(0) = 1/2$  положителен (либо, когда канал экзотический, равен нулю) [6].



С другой стороны, поскольку при ускорительных энергиях ( $s \sim 40 \text{ ГэВ}^2$ ) массы ливней частиц с импульсами больше  $p_c = \sqrt{s_1}$  и меньше  $p_c = -\sqrt{s_2}$ , весьма малы ( $s_1 \sim s_2 \sim 3 \text{ ГэВ}^2$ ), то следует учитывать эффекты фазового объема, которые легче всего пояснить на партонной модели [7].

Частица "с" на рис. 1, б образуется при столкновении двух партонов. Один из адрона "а" несет долю импульса  $x_1 (k_1 = x_1 p_a)$ , а второй из "б" —  $x_2$ . Если партон 1 достаточно быстрый ( $x_1 \rightarrow 1$ ), то остальным партонам из "а" достается малая доля энергии  $\sim 1 - x_1$ . Поэтому вероятность найти быстрый партон падает с ростом  $x_1$ . Например, в глубоко неупругом  $\nu$  рассеянии  $W_2(x) \rightarrow (1 - x)^3$  при  $x = 1 - \omega \rightarrow 1$ .

В нашем случае для испускания частицы "с" нужны  $x_1 \sim x_2 \sim \sqrt{m_c^2 + p_{1c}^2} / \sqrt{s} = m_{1c} / \sqrt{s}$ , и можно ожидать, что

$$f(0, p_1, s) \approx (1 - x_1)^3 (1 - x_2)^3 f(0, p_1, \infty) \approx \left(1 - \frac{3m_{1c}}{\sqrt{s}}\right) \left(1 - \frac{3m_{1c}}{\sqrt{s}}\right) f(0, p_1, \infty) \quad (1)$$

Теперь покажем откуда берется такая зависимость на диаграммах. Графику рис. 1, а соответствует интеграл

$$f(p_c, s) = \frac{E_c d\sigma}{d^3 p_c} = g^2 \int \frac{d^4 k_1}{(2\pi)^4 s} 2 \text{Im} A_1 \text{Im} A_2 |\eta(k_1^2)|^2 |\eta(k_2^2)|^2, \quad (2)$$

где:  $\eta(k^2)$  – пропагатор частиц "d" "f",  $\text{Im} A_1$  – мнимая часть амплитуды рассеяния вперед адрона "d" на мишени "σ",  $g$  – константа связи.

Точный вид пропагатора для нас несущественен. Видно лишь то, что благодаря быстрому падению  $\eta(k^2)$  с  $k^2$  интеграл по  $k^2$  сходится на величинах  $k^2 \sim 1/2R^2$ . Для определенности можно считать

$$\eta(k^2) = \exp(R^2 k^2), \quad (k^2 < 0). \quad (3)$$

Пользуясь оптической теоремой, мнимую часть амплитуды рассеяния мы выразим через полное сечение взаимодействия частиц  $a$  и  $d$ ,  $f$  и  $b$ .

$$\text{Im} A_1 = (s_1 - M_\pi^2) \sigma_a (1 + 1/\sqrt{s_1}). \quad (4)$$

Фактор  $s_1 - M_\pi^2$  в формуле (4) (вместо обычного  $\text{Im} A_1 = s_1 \sigma(s_1)$ ) отражает пороговое поведение амплитуды.  $\text{Im} A_1$  должна обращаться в нуль при  $s_1 \leq (m_a + m_d)^2$ . А  $(1 + 1/\sqrt{s_1})$  описывает изменение сечения при больших энергиях. Из-за невакуумных полюсов  $\sigma(s_1)$  подходит к своему асимптотическому значению сверху.

Следует подчеркнуть, что выражение (4) не является разложением по полюсам Редже. Это просто удобная аппроксимация амплитуды мезон-нуклонного рассеяния (например,  $\pi N$ ,  $\gamma N$ ).

Для дальнейшего удобно ввести Судаковские переменные [8]

$$p'_a = (0, 1, 2, 3) = \frac{\sqrt{s}}{2} (1, 0, 0, 1), \quad p'_b = \frac{\sqrt{s}}{2} (1, 0, 0, -1),$$

$$p_c = \alpha_c p'_a + \beta_c p'_b + p_{1c}, \quad k_i = \alpha_i p'_a - \beta_i p'_b + k_{i1}.$$

Тогда формула (2) примет вид

$$f(p_c, s) = g^2 \int \frac{d\alpha_2 d\beta_1 d^2 k_{11}}{(2\pi)^4} \sigma_a^2 (s_1 - M_\pi^2) (s_2 - M_\pi^2) \left(1 + \frac{1}{\sqrt{s_1}}\right) \times \left(1 + \frac{1}{\sqrt{s_2}}\right) |\eta(k_1^2) \eta(k_2^2)|^2, \quad (5)$$

где все поправки порядка  $1/\sqrt{s}$  связаны с множителем  $(s_{1,2} - M_{\Pi}^2)$ . Действительно:  $s_1 - M_{\Pi}^2 = \beta_1(1 - \alpha_1) s - |k_{\perp}|^2 + m_{\sigma}^2 - M_{\Pi}^2$ . Существенные в интеграле (5)  $\beta_1 \approx 1/(2R^2 s \alpha_1)$ ,  $\alpha_2 \approx 1/(2R^2 s \beta_2)$ ,  $k_{1,2\perp}^2 \approx 1/2R^2$  (так как  $-k_1^2 = \alpha_1 \beta_1 s + |k_{1\perp}|^2$ ; и  $k_1^2 \approx 1/2R^2$  см (3)). Отсюда

$$s_1 - M_{\Pi}^2 = \beta_1 s [1 - \alpha_1 - \alpha_1 (M_{\Pi}^2 - m_{\sigma}^2) 2R^2 - \alpha_1 2R^2 / 2R^2] \approx \beta_1 s (1 - 3,2 \alpha_1)$$

$$s_2 - M_{\Pi}^2 \approx (1 - 3,2 \beta_2) \alpha_2 s.$$

(Здесь мы взяли  $R^2 = 2 \Gamma \vartheta \theta^{-2}$ ,  $m_{\sigma}^2 = m_N^2 = 0,9 \Gamma \vartheta \theta^2$ .  $M_{\Pi}^2 = (m_N + m_{\pi})^2 = 1,2 \Gamma \vartheta \theta^2$ ). Аналогичным образом поступим с членами порядка  $s^{-1/4}$

$$\left(1 + \frac{1}{\sqrt{s_1}}\right) \left(1 + \frac{1}{\sqrt{s_2}}\right) \approx (1 + \sqrt{2R^2 \beta_2}) (1 + \sqrt{2R^2 \alpha_1}) = (1 + 2\sqrt{\beta_2}) (1 + 2\sqrt{\alpha_1}).$$

Наконец оценим  $\alpha_1$  и  $\beta_2$ . Условия сохранения импульса  $\alpha_1 = \alpha_c + \alpha_2 \approx \alpha_c + 1/(2R^2 s \beta_2)$ ,  $\beta_2 = \beta_c + \beta_1 \approx \beta_c + 1/(2R^2 s \alpha_1)$ , приводят к величинам:

$$\alpha_1 = \alpha_c (1 + \delta), \quad \beta_2 = \beta_c (1 + \delta), \quad \delta = \sqrt{\frac{1}{4} + \frac{1}{2R^2 m_{1c}^2}} - \frac{1}{2} > 0. \quad (6)$$

В результате мы получаем формулу

$$f(p_c, s) = (1 - 3,2 \alpha_1) (1 - 3,2 \beta_2) (1 + 2\sqrt{\beta_2}) (1 + 2\sqrt{\alpha_1}) \left[ f(p_c, \infty) + 0\left(\frac{1}{s}\right) \right], \quad (7)$$

где оставшийся интеграл  $I = g^2 \int \frac{d\alpha_2 d\beta_1}{(2\pi)^4} d^2 k_{\perp} \beta_1 \alpha_2 s^2 \sigma_0^2 |\eta(k_1^2) \eta(k_2^2)|^2 =$

$= f(p_c, \infty) + 0\left(\frac{1}{s}\right)$  уже содержит поправки лишь порядка  $1/s$  и меньше.

При выводе выражения (7) мы специально не полагали  $\alpha_c = \beta_c$  (что справедливо при излучении на  $90^\circ$ ), а оставляли произвольные  $\alpha_c$  и  $\beta_c$ , потому, что формула (7) описывает не только зависимость инклюзивного сечения от энергии, но и распределение по продольным скоростям (рапидити) — частицы "с" в области пионизации. Последнее утверждение станет очевидным, если выразить  $\alpha_c$  и  $\beta_c$  через рапидити адрона "с" в системе центра масс

$$y_c = \frac{1}{2} \ln \frac{E_c + p_{\parallel c}}{E_c - p_{\parallel c}} = \frac{1}{2} \ln \frac{\alpha}{\beta}, \quad \text{т. е. } \alpha_c = \frac{m_{1c}}{\sqrt{s}} e^{y_c}, \quad \beta_c = \frac{m_{1c}}{\sqrt{s}} e^{-y_c}. \quad (8)$$

Вычисленные с помощью формул (7), (6), (8) зависимость  $f(0, p_{\perp}, s)$  от энергии и распределение по рапидити при разных  $s$  приведены на рис. 2,

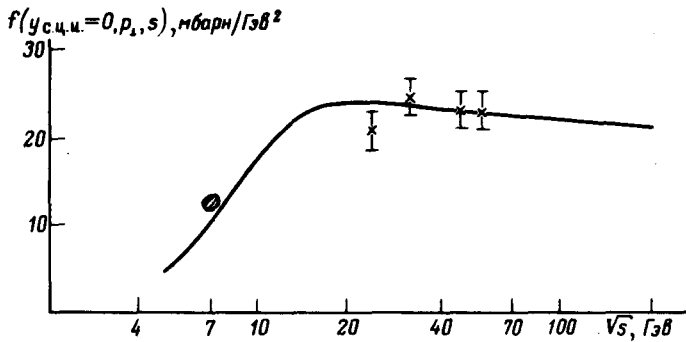


Рис. 2. Зависимость инклюзивного сечения ( $pp \rightarrow \pi^- + X$ ) от энергии ( $p_{\perp} = 0,3 \text{ Гэв}$ ;  $R_{\parallel \text{ с.ц.и.}} = 0$ ). Сплошная линия — расчет по формуле (7). Кружками и крестиками нанесены экспериментальные данные при ускорительных [4] и ISR [3] энергиях, соответственно.

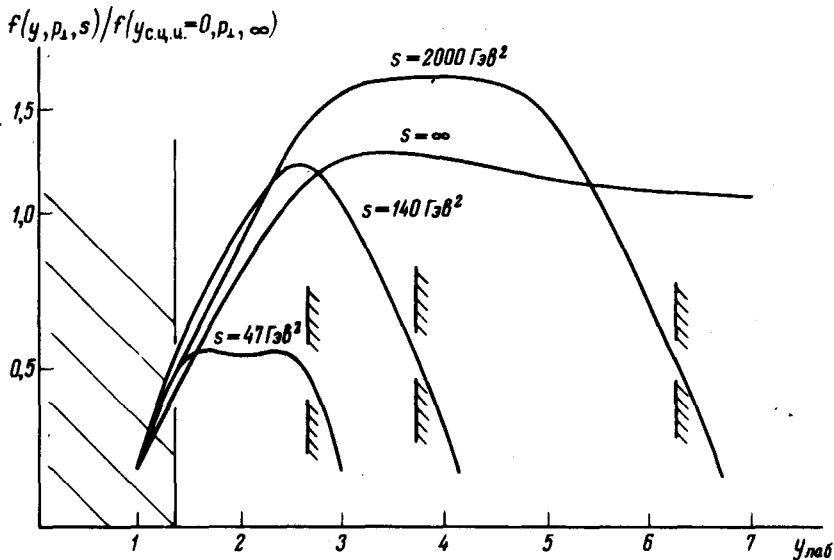


Рис. 3. Распределение пионов, образующихся в реакции  $pp \rightarrow \pi^- X$ , по продольным скоростям ( $p_{\perp} = 0,4 \text{ Гэв}$ ). Сплошные кривые — расчет по формуле (7). Слева заштрихована область фрагментации (трехрежеонного предела), где формула (7) уже не работает, так как  $\beta_2$  — велико

3. Небольшие горбы (при  $s \approx 1000 \text{ Гэв}^2$  на рис. 2 и при  $s = \infty$  на рис. 3) связаны с множителем  $(1 + 1/\sqrt{s_1})$  в (4), учитывающим вклад невакуумных полюсов ( $P', \omega$ ). Но из-за пороговых эффектов ( $1 - 3,2\beta_2$ ) поправки  $\sim 1/\sqrt{s_2}$  становятся заметны лишь при очень больших  $s$ . При меньших  $s$  горбы перекрываются и образуют плато, причем более высокое (на 40 – 50% выше), чем асимптотическое.

Параметры, использованные при расчете ( $R^2 = 2 \text{ Гэв}^{-2}$ ) взяты из работы [9], где была построена мультипериферическая модель с постоянным полным сечением. Кроме того, мы учитывали, что значительная часть пионов образуется в результате распада резонансов ( $\rho$ -мезонов) и продольная скорость  $u_\pi$   $\pi$ -мезона несколько отличается от  $u_\rho$ -резонанса. Поэтому для этих пионов формула (7) интегрировалась в интервале  $u_\pi - 1 < u_\rho < u_\pi + 1$ . Доля пионов, рожденных через резонансы ( $= 2/3$ ) и средняя поперечная масса резонансов ( $m_{\perp\rho} = 1 \text{ Гэв}$ ) также взяты из работы [9].

Наконец, отметим интересный качественный эффект, который наблюдался группой Сакле – Страсбург [3]. С увеличением  $p_\perp$  (при  $p_\perp > 500 \text{ мэв} \gtrsim p_\perp >$ ) инклюзивное сечение начинает быстрее расти с ростом энергии, что объясняется увеличением  $\alpha_c, \beta_c$  в выражении (7) при увеличении  $m_{\perp c} = \sqrt{m_c^2 + p_{\perp c}^2}$ .

В заключение напомним, что формула (7) не претендует на точное количественное описание экспериментальных данных. Мы лишь хотели показать, что эффекты фазового объема сказываются даже при довольно больших  $s$  и могут объяснить рост инклюзивного сечения в области пионизации. Подробное обсуждение зависимости  $f(p_c, s)$  от энергии в модели такого типа, с учетом распада резонансов, будет опубликовано в журнале Ядерная Физика.

Авторы благодарят А.А.Ансельма и И.Т.Дятлова за плодотворное обсуждение.

Ленинградский  
институт ядерной физики  
Академии наук СССР

Поступила в редакцию  
28 марта 1973 г.

### Литература

- [1] J.C.Botre. Nucl. Phys., B51, 586, 1973.
- [2] A.Bertin et al. Phys. Lett., 38B, 260, 1972; L.G.Ratner et al. Phys. Rev. Lett., 27, 68, 1971.
- [3] M.Banner et al. Phys. Lett., 41B, 547, 1972.
- [4] H.J.Miick et al. Phys. Lett., 39B, 303, 1972.
- [5] A.H.Mueller. Phys. Rev., D2, 2963, 1970; H.D.Abarbanel. Phys. Lett., 34B, 69, 1971; H.D.Abarbanel. Phys. Rev., D3, 2227, 1971.
- [6] К.Г.Боресков, А.М.Лapidус, С.Г.Сухоруков, К.А.Тер-Мартirosян, ЯФ, 14, 814, 1971.
- [7] R.P.Feynman. Phys. Rev. Lett., 23, 1415, 1969; J.D.Bjorken, E.Paschos. Phys. Rev., 185, 1975, 1969.
- [8] В.В.Судаков. ЖЭТФ, 30, 87, 1956.
- [9] Е.М.Левин, Н.Г.Рыскин. ЯФ, 17, 388, 1973.